

Previsão de Afluência - Reservatório de Fiu

2021-08-06

Localização das estações



| Código | Nome | Longitude | Latitude | Altitude |
|----------|---------------------------|-----------|-----------|----------|
| 23745094 | Reservatório Fiu | -50.94049 | -23.74906 | 641 |
| 23735103 | Apucaraninha Montante | -51.03778 | -23.73056 | 687 |
| 23745090 | Barragem PCH Apucaraninha | -50.90772 | -23.75001 | 618 |

Figura 1: Bacia de Fiu

Chuva Observada

Tabela 1: Dados de chuva observada na bacia

| Dia | Estação | | | Chuva Integrada |
|------------|--------------------------|------------------------------|------------------|-----------------|
| | Apucaraninha Montante | Barragem PCH Apucaraninha | Reservatório Fiu | |
| | Precipitação (mm) | | | |
| 2021-07-30 | 0.0 | 0.0 | 0.0 | 0.0 |
| 2021-07-31 | 0.0 | 0.0 | 0.0 | 0.0 |
| 2021-08-01 | 0.0 | 0.0 | 0.0 | 0.6 |
| 2021-08-02 | 0.0 | 0.0 | 0.0 | 0.0 |
| 2021-08-03 | 0.0 | 0.0 | 0.0 | 0.0 |
| 2021-08-04 | 0.0 | 0.0 | 0.0 | 0.0 |
| 2021-08-05 | 0.0 | 0.0 | 0.0 | 0.0 |

Previsão Hidrometeorológica

Modelo Sacramento

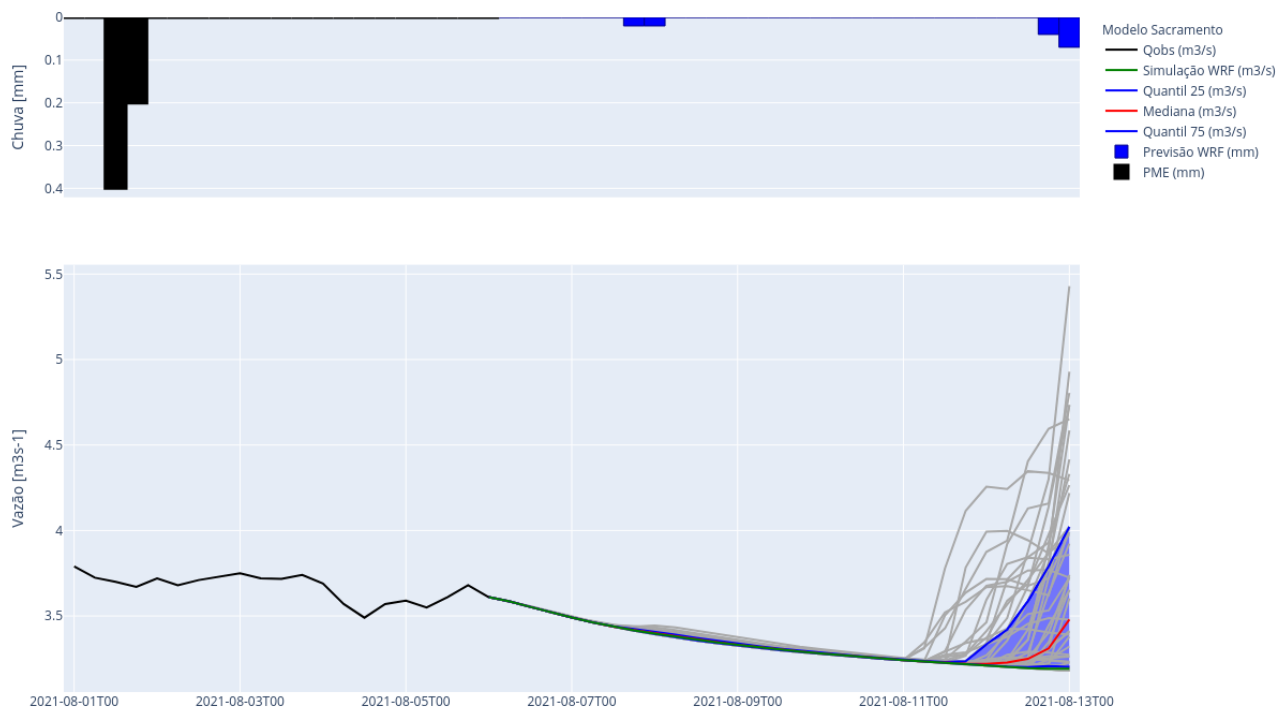


Figura 2: Previsão de afluência para o reservatório - Modelo Sacramento

Modelo GR5i

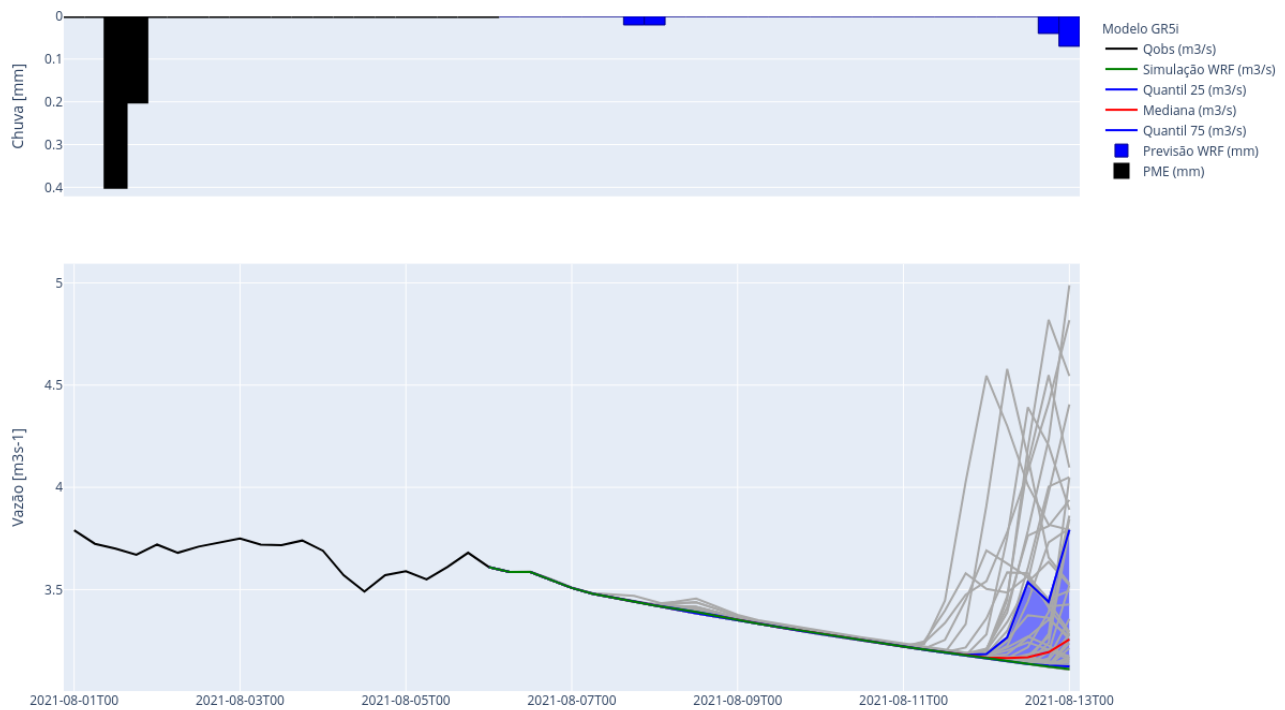


Figura 3: Previsão de afluência para o reservatório - Modelo GR5i

Detalhamento Previsões

Tabela 2: Valores de vazão afluente média prevista - Modelo Sacramento

| Hora | Simulação com chuva ECMWF | | | | | Simulação com chuva WRF |
|--|---------------------------|------------|---------|------------|--------|-------------------------|
| | Mínimo | Quantil 25 | Mediana | Quantil 75 | Máximo | |
| Vazão Média Prevista (m ³ s ⁻¹) | | | | | | |
| 2021-08-06T00 | 3.61 | 3.61 | 3.61 | 3.61 | 3.61 | 3.61 |
| 2021-08-06T06 | 3.58 | 3.58 | 3.58 | 3.58 | 3.59 | 3.58 |
| 2021-08-06T12 | 3.55 | 3.55 | 3.55 | 3.55 | 3.56 | 3.55 |
| 2021-08-06T18 | 3.52 | 3.52 | 3.52 | 3.52 | 3.53 | 3.52 |
| 2021-08-07T00 | 3.49 | 3.49 | 3.49 | 3.49 | 3.5 | 3.49 |
| 2021-08-07T06 | 3.46 | 3.46 | 3.46 | 3.46 | 3.47 | 3.46 |
| 2021-08-07T12 | 3.44 | 3.44 | 3.44 | 3.44 | 3.45 | 3.44 |
| 2021-08-07T18 | 3.41 | 3.42 | 3.42 | 3.42 | 3.44 | 3.42 |
| 2021-08-08T00 | 3.39 | 3.4 | 3.4 | 3.41 | 3.44 | 3.4 |
| 2021-08-08T06 | 3.37 | 3.38 | 3.38 | 3.39 | 3.43 | 3.38 |
| 2021-08-08T12 | 3.36 | 3.36 | 3.36 | 3.37 | 3.42 | 3.36 |
| 2021-08-08T18 | 3.34 | 3.34 | 3.35 | 3.36 | 3.39 | 3.34 |
| 2021-08-09T00 | 3.33 | 3.33 | 3.33 | 3.34 | 3.37 | 3.33 |
| 2021-08-09T06 | 3.31 | 3.31 | 3.32 | 3.32 | 3.36 | 3.32 |
| 2021-08-09T12 | 3.3 | 3.3 | 3.3 | 3.31 | 3.34 | 3.3 |
| 2021-08-09T18 | 3.29 | 3.29 | 3.29 | 3.3 | 3.32 | 3.29 |
| 2021-08-10T00 | 3.28 | 3.28 | 3.28 | 3.28 | 3.3 | 3.28 |
| 2021-08-10T06 | 3.27 | 3.27 | 3.27 | 3.27 | 3.29 | 3.27 |
| 2021-08-10T12 | 3.26 | 3.26 | 3.26 | 3.26 | 3.28 | 3.26 |
| 2021-08-10T18 | 3.25 | 3.25 | 3.25 | 3.25 | 3.27 | 3.25 |
| 2021-08-11T00 | 3.24 | 3.24 | 3.24 | 3.24 | 3.26 | 3.24 |
| 2021-08-11T06 | 3.23 | 3.23 | 3.23 | 3.24 | 3.34 | 3.23 |
| 2021-08-11T12 | 3.22 | 3.23 | 3.23 | 3.23 | 3.78 | 3.23 |
| 2021-08-11T18 | 3.22 | 3.22 | 3.22 | 3.24 | 4.12 | 3.22 |
| 2021-08-12T00 | 3.21 | 3.21 | 3.22 | 3.33 | 4.26 | 3.21 |
| 2021-08-12T06 | 3.2 | 3.2 | 3.23 | 3.42 | 4.24 | 3.2 |
| 2021-08-12T12 | 3.19 | 3.2 | 3.25 | 3.59 | 4.4 | 3.2 |
| 2021-08-12T18 | 3.19 | 3.21 | 3.31 | 3.79 | 4.6 | 3.19 |
| 2021-08-13T00 | 3.18 | 3.2 | 3.48 | 4.02 | 5.43 | 3.19 |

- Horário de disparo da previsão: 2021-08-06T00 (UTC).
- Horários registrados pelo Tempo Coordenado Universal (UTC) / Hora Mundial.
- Dados indexados no limite superior de tempo. Ex: Registro de 06:00 contém previsões de vazão média para período 00:01 a 06:00.
- Simulações com Ensemble ECMWF - Conjunto de 51 forçantes.

Tabela 3: Valores de vazão afluente média prevista - Modelo GR5i

| Hora | Simulação com chuva ECMWF | | | | | Simulação com chuva WRF |
|---------------|------------------------------|------------|---------|------------|--------|----------------------------|
| | Mínimo | Quantil 25 | Mediana | Quantil 75 | Máximo | |
| | Vazão Média Prevista (m3s-1) | | | | | |
| 2021-08-06T00 | 3.61 | 3.61 | 3.61 | 3.61 | 3.61 | 3.61 |
| 2021-08-06T06 | 3.59 | 3.59 | 3.59 | 3.59 | 3.59 | 3.59 |
| 2021-08-06T12 | 3.59 | 3.59 | 3.59 | 3.59 | 3.59 | 3.59 |
| 2021-08-06T18 | 3.55 | 3.55 | 3.55 | 3.55 | 3.55 | 3.55 |
| 2021-08-07T00 | 3.51 | 3.51 | 3.51 | 3.51 | 3.51 | 3.51 |
| 2021-08-07T06 | 3.48 | 3.48 | 3.48 | 3.48 | 3.48 | 3.48 |
| 2021-08-07T12 | 3.46 | 3.46 | 3.46 | 3.46 | 3.48 | 3.46 |
| 2021-08-07T18 | 3.44 | 3.44 | 3.44 | 3.44 | 3.47 | 3.44 |
| 2021-08-08T00 | 3.42 | 3.42 | 3.42 | 3.42 | 3.44 | 3.42 |
| 2021-08-08T06 | 3.4 | 3.4 | 3.4 | 3.41 | 3.44 | 3.41 |
| 2021-08-08T12 | 3.38 | 3.38 | 3.39 | 3.39 | 3.46 | 3.39 |
| 2021-08-08T18 | 3.37 | 3.37 | 3.37 | 3.37 | 3.42 | 3.37 |
| 2021-08-09T00 | 3.35 | 3.35 | 3.35 | 3.35 | 3.38 | 3.35 |
| 2021-08-09T06 | 3.33 | 3.33 | 3.33 | 3.33 | 3.35 | 3.33 |
| 2021-08-09T12 | 3.32 | 3.32 | 3.32 | 3.32 | 3.33 | 3.32 |
| 2021-08-09T18 | 3.3 | 3.3 | 3.3 | 3.3 | 3.32 | 3.3 |
| 2021-08-10T00 | 3.28 | 3.28 | 3.28 | 3.28 | 3.3 | 3.28 |
| 2021-08-10T06 | 3.27 | 3.27 | 3.27 | 3.27 | 3.28 | 3.27 |
| 2021-08-10T12 | 3.25 | 3.25 | 3.25 | 3.25 | 3.27 | 3.25 |
| 2021-08-10T18 | 3.24 | 3.24 | 3.24 | 3.24 | 3.25 | 3.24 |
| 2021-08-11T00 | 3.22 | 3.22 | 3.22 | 3.22 | 3.24 | 3.22 |
| 2021-08-11T06 | 3.2 | 3.2 | 3.21 | 3.21 | 3.25 | 3.21 |
| 2021-08-11T12 | 3.19 | 3.19 | 3.19 | 3.19 | 3.44 | 3.19 |
| 2021-08-11T18 | 3.18 | 3.18 | 3.18 | 3.18 | 4.03 | 3.18 |
| 2021-08-12T00 | 3.16 | 3.16 | 3.17 | 3.18 | 4.55 | 3.16 |
| 2021-08-12T06 | 3.15 | 3.15 | 3.16 | 3.27 | 4.58 | 3.15 |
| 2021-08-12T12 | 3.14 | 3.14 | 3.17 | 3.54 | 4.39 | 3.14 |
| 2021-08-12T18 | 3.12 | 3.13 | 3.19 | 3.44 | 4.82 | 3.12 |
| 2021-08-13T00 | 3.11 | 3.12 | 3.26 | 3.79 | 4.99 | 3.11 |

- Horário de disparo da previsão: 2021-08-06T00 (UTC).
- Horários registrados pelo Tempo Coordenado Universal (UTC) / Hora Mundial.
- Dados indexados no limite superior de tempo. Ex: Registro de 06:00 contém previsões de vazão média para período 00:01 a 06:00.
- Simulações com Ensemble ECMWF - Conjunto de 51 forçantes.